

очень сильно зависит от градиента температуры: чем меньше градиент, тем больше отношение. Если принять, что коэффициент турбулентности в точке измерения зенитных расстояний, т. е. при $z=0$, равен 0,3, то $a_2=0,3$ м²/сек в случае предположения о линейности изменения коэффициента турбулентности с высотой. Тогда, приняв, что среднее значение отношения $a_1/a_2=0,4$, получим $a_1=0,12$ м/сек². Таким образом, в данном случае мы имеем скорость передачи тепловой энергии турбулентным потоком. В настоящее время производятся дальнейшие исследования закономерностей изменения этого отношения при различных условиях.

Статья поступила в редколлегию 19. 05. 81

УДК 528.3

Д. И. МАСЛИЧ, Л. С. ХИЖАК, Н. Б. ЯСКИЛКА

ОПРЕДЕЛЕНИЕ КОЭФФИЦИЕНТА ТУРБУЛЕНТНОСТИ В ТОЧКАХ СВЕТОВОЙ КРИВОЙ ПО РЕЗУЛЬТАТАМ ГЕОДЕЗИЧЕСКИХ И МЕТЕОРОЛОГИЧЕСКИХ ИЗМЕРЕНИЙ

Как было установлено в работе [1], показатель преломления света связан с коэффициентом турбулентности. Следовательно, и углы рефракции также каким-то образом будут связаны с этим коэффициентом. Но, как известно из динамической метеорологии [2], коэффициент турбулентности в атмосфере может меняться в очень широких пределах, причем закономерности его изменения мало изучены. Поэтому определение углов рефракции с учетом коэффициента турбулентности может привести к практически достоверным результатам только в том случае, если будут известны закономерности изменения коэффициента турбулентности.

В настоящей статье приводится теория метода определения коэффициента турбулентности по метеоданным, измеренным значениям зенитных расстояний и координатам начала и конца световой кривой. Предположим, что коэффициент турбулентности a изменяется по закону

$$a = a_0 e^{\beta z}, \quad (1)$$

где a_0, β — некоторые коэффициенты, подлежащие определению; z — высота над подстилающей поверхностью.

Решая уравнения, приведенные в работе [1],

$$\frac{d}{dz} \left[a(z) \frac{dT}{dz} \right] = 0; \quad \rho q - \frac{dp}{dz} = 0, \quad (2)$$

где ρ, q соответственно плотность и составляющая ускорения свободного падения.

С использованием начальных условий

$$T_{|z=0} = T_0; \quad T'_{|z=0} = T'_0; \quad p_{|z=0} = p_0$$

получим значение температуры T и давления p как функции высоты z над поверхностью Земли.

$$T = T_0 + \frac{T'_0}{\beta} (1 - e^{-\beta z}); \quad (3)$$

$$p = p_0 \left[1 + \frac{T'_0}{\beta T_0} (1 - e^{-\beta z}) \right]^{-\frac{\mu q}{R(T_0 \beta + T'_0)}} \cdot e^{-\frac{\mu g \beta}{R(T_0 \beta + T'_0)} z}. \quad (4)$$

На основе уравнения Менделеева—Клапейрона

$$\rho = \frac{RT}{\mu p},$$

где μ — масса моля, R — газовая постоянная, с учетом формулы Дала—Гладстона $n = 1 + c\rho$, формула для показателя преломления принимает вид

$$n = 1 + c \frac{\mu p_0}{RT_0} \left[1 + \frac{T'_0}{T_0 \beta} (1 - e^{-\beta z}) \right]^{-\left[\frac{\mu q}{R(T_0 \beta + T'_0)} + 1 \right]} \cdot e^{\left[\frac{\mu g \beta}{R(T_0 \beta + T'_0)} \right] z}. \quad (5)$$

Частные производные n'_0, n''_0 , входящие в коэффициенты ряда

$$z(x) = z'_0 x + \frac{z''_0}{2!} x^2 + \dots$$

[3], являющегося решением задачи, с учетом принятого экспоненциального закона изменения коэффициента турбулентности запишутся

$$\begin{aligned} n_0 &= 1 + c \frac{\mu p_0}{RT_0}; \quad n = 1 + c \frac{\mu q}{RT_0}; \\ n'_0 &= -c \frac{\mu p_0}{RT_0^2} \left(T'_0 + \frac{\mu q}{R} \right); \\ n''_0 &= \frac{\mu p_0}{RT_0^3} \left[2T_0'^2 + \left(3 \frac{\mu q}{R} \right) + T'_0 + \left(\frac{\mu q}{R} \right)^2 \right]; \\ n'''_0 &= -c \frac{\mu p_0}{RT_0^4} \left[6T_0'^3 + \left(11 \frac{\mu q}{R} + 6T_0 \beta \right) T_0'^2 + \right. \\ &\quad \left. + \left(6 \frac{\mu^2 q^2}{R^2} + 4 \frac{\mu q}{R} T_0 \beta + T_0^2 \beta^2 \right) T'_0 + \left(\frac{\mu q}{R} \right)^3 \right]; \\ n^{IV}_0 &= c \frac{\mu p_0}{RT_0^5} \left\{ 24T_0'^4 + \left(50 \frac{\mu q}{R} + 36 T_0 \beta \right) T_0'^3 + \left[35 \left(\frac{\mu q}{R} \right)^2 + \right. \right. \end{aligned}$$

$$+ 40T_0 \beta \frac{\mu q}{R} + 14T_0^2 \beta^3 \left] T_0'^2 + \left[10T_0 \beta \left(\frac{\mu q}{R} \right)^3 + 10T_0 \beta \left(\frac{\mu q}{R} \right)^2 + \right. \right. \\ \left. \left. + 5T_0^2 \beta^2 \frac{\mu q}{R} + T_0^3 \beta^3 \right] T_0' + \left(\frac{\mu q}{R} \right)^4 \right\};$$

$$n_0^y = c \frac{\mu P_0}{RT_0^6} \left\{ 120T_0'^5 + \left(274 \frac{\mu q}{R} + 240T_0 \beta \right) T_0'^4 + 225 \left(\frac{\mu q}{R} \right)^2 + \right. \\ \left. + 346T_0 \beta \frac{\mu q}{R} + 150T_0^2 \beta^2 \right] T_0'^3 + \left[35 \left(\frac{\mu q}{R} \right) + 150T_0 \beta \left(\frac{\mu q}{R} \right)^3 + \right. \\ \left. + 109T_0^2 \beta^2 \frac{\mu q}{R} + 30T_0^3 \beta^3 \right] T_0'^2 + \left[15 \left(\frac{\mu q}{R} \right)^3 + 150T_0 \beta \left(\frac{\mu q}{R} \right)^3 + \right. \\ \left. + 15T_0^2 \beta^2 \left(\frac{\mu P_0}{R} \right)^2 + 6T_0 \beta^2 \left(\frac{\mu q}{R} \right) + T_0^4 \beta^4 \right] T_0' + \left(\frac{\mu q}{R} \right)^5 \right\};$$

$$n_0^{yi} = c \frac{\mu P_0}{RT_0^7} \left\{ 720T_0'^6 + \left[1800\beta T_0 + 176 \frac{\mu q}{R} \right] T_0'^5 + \left[1560\beta^2 T_0^2 + \right. \right. \\ \left. \left. + 3066\beta T_0 \frac{\mu q}{R} + 1624 \left(\frac{\mu q}{R} \right)^2 \right] T_0'^4 + \left[540\beta^3 T_0^3 + 1624\beta^2 T_0 \frac{\mu q}{R} + \right. \right. \\ \left. \left. + 1786\beta T_0 \frac{\mu q}{R} + 735 \left(\frac{\mu q}{R} \right)^3 \right] T_0'^3 + \left[62\beta^4 T_0^4 + 284\beta^4 \frac{\mu q}{R} + \right. \right. \\ \left. \left. + 499\beta^2 T_0^2 \left(\frac{\mu q}{R} \right)^2 + 440\beta T_0 \left(\frac{\mu q}{R} \right)^3 + 175 \left(\frac{\mu q}{R} \right)^4 \right] T_0'^2 + \right. \\ \left. + \left[7\beta^4 T_0^4 \frac{\mu q}{R} + \beta^5 T_0^5 + 36\beta^3 T_0^3 \left(\frac{\mu q}{R} \right)^2 + 35\beta^2 T_0^2 \left(\frac{\mu q}{R} \right)^3 + \right. \right. \\ \left. \left. + 35\beta T_0 \left(\frac{\mu q}{R} \right)^4 + 21 \left(\frac{\mu q}{R} \right)^5 \right] T_0' + \left(\frac{\mu q}{R} \right)^6 \right\}. \quad (6)$$

Подставив зависимости (6) в значения для частных производных $z_0^i, z_0^{ii}, \dots, z_0^{Vii}$ [3], получим выражения для последних, которые являются функциями коэффициента турбулентности β .

Решив это уравнение относительно β , мы получим зависимость, из которой можно определить β , если известны координаты точки являющейся источником излучения.

Как было сказано выше, при решении поставленной задачи допускается возможность представления световой кривой с помощью ряда Тейлора, ограничиваясь при этом разным количеством его членов. Естественно, что такое ограничение приводит к некоторой неопределенности при определении коэффициента β . С целью исследования этого вопроса, а также для оценки результатов исследований приведем уравнения, на основании которых можно определить β для тех случаев, когда ряд обрывается на четвертом, пятом или шестом члене.

Уравнение, с помощью которого можно определить β в случае обрыва ряда Тейлора на четвертом члене, примет вид:

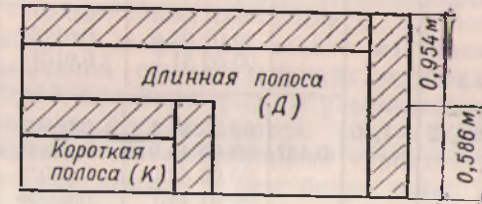
$$a_{11}\beta + a_{10} = 0; \quad (7) \quad a_{22}\beta^2 + a_{21}\beta + a_{20} = 0, \quad (8)$$

в случае представления пятью членами

$$a_{33}\beta^3 + a_{32}\beta^2 + a_{31}\beta + a_{30} = 0, \quad (9)$$

а в случае обрыва на шестом члене оно запишется так:

$$a_{44}\beta^4 + a_{43}\beta^3 + a_{42}\beta^2 + a_{41}\beta + a_{40} = 0. \quad (10)$$



Визирная марка для экспериментальных измерений.

В уравнениях (7), (8), (9), (10) коэффициенты и свободные члены являются функциями ρ, T, T', ξ, x, y , где ξ — зенитное расстояние, измеренное в начале координат, а x и y — координаты источника, от которого распространяется световая энергия. Эти коэффициенты зависят также от физических констант μ, c, q, R и a , где c — коэффициент, зависящий от длины волны распространяющегося излучения. Здесь мы не приводим этих зависимостей из-за их громоздкости.

Ниже приводим пример вычисления коэффициента турбулентности в предположении его экспоненциального распределения Δ высотой для случая, когда световая кривая описывается шестью членами ряда Тейлора. За исходные данные, которые использованы при вычислении коэффициента турбулентности, приняты результаты экспериментальных измерений, выполненные 31.VII.1979 г. в период с 11 до 12 ч над асфальтом в южном степном районе.

В указанный период наблюдалось многократное изображение одних и тех же визирных целей. На визирной марке, которая применялась при исследовании, были нанесены две полосы, длинная и короткая (см. рисунок).

Исходные данные и результаты вычисления корней уравнения (10), т. е. значений коэффициента β , приведены в таблице. Во второй графе ее дана температура T_0 , в третьей — градиент температуры T_0' в точке наблюдений. Градиент температуры получен как разность температур над асфальтом между высотами 10 и 60 см в начале и конце наблюдений. Участок шоссе был ровным (превышение между началом и концом было не больше 5 см), поэтому расстояние от начала координат до центра длинной и короткой полос визирной марки можно с точностью до миллиметра считать постоянным. В четвер-

Таблица вычисления величины β

№ изм.	$T^{\circ} K$	$T_0 \frac{10^3}{м}$	Z (м)	Измерение зенитных расстояний	β			
					I	II	III	IV
1				90° 01' 52,6"	0,01949	0,01711	16,5	-0,007
2			0,857	89 59 24,8	-0,01113	0,01711	-1,47	-0,011
3	295,9	-1,27		89 59 44,5	-0,04050	0,01750	2,84	0,129
4			0,467	90 00 36,8	0,03457	0,01711	-0,658	-0,011
5				90 01 10,3	0,02390	0,01711	51,300	-0,608
6				89 57 26,3	0,00571	0,01646	17,230	0,013
7				90 02 04,6	0,01765	0,01646	12,040	-0,007
8				90 02 41,7	0,01614	0,01646	7,635	-0,003
9	296,42	-1,16		89 59 48,4	-0,05933	0,01646	2,04	0,167
10			0,467	90 00 10,0	0,09349	0,01646	0,643	0,125
11				90 00 42,0	0,03079	0,01646	1510,0	-0,021
12				90 01 14,7	0,02208	0,01646	38,4	-0,014
13				89 57 35,9	-0,00138	0,01766	-1,901	-0,0086
14			0,857	90 02 08,5	0,010116	0,01770	11,76	-0,0249
15				90 02 38,1	0,00902	0,01770	9,639	-0,0189
16	296,58	-0,46		09 59 44,5	-0,04617	-0,11769	-12,6	-0,2570
17			0,467	90 00 09,0	0,09328	0,01769	1411,0	-0,6224
18				90 00 51,0	0,01940	0,01770	30,52	-0,0667
19				90 01 18,5	0,01405	0,01770	16,626	-0,0392
20				89 57 24,8	-0,000998	0,01766	-1,298	-0,0063
21			0,857	90 02 08,1	0,01018	0,01770	11,8	-0,0250
22	296,58	-0,46		90 02 41,0	0,00893	0,01770	9,467	-0,0185
23				89 59 38,6	-0,03240	0,01769	-9,92	-0,1619
24			0,467	90 00 45,8	0,02126	0,01770	37,46	-0,0765
25				89 57 39,3	-0,00151	0,01766	-2,096	-0,0094
26			0,857	90 02 14,8	0,00988	0,01770	11,23	-0,0234
27	296,58	-0,46		90 02 59,6	0,00842	0,01770	8,574	-0,0160
28				89 59 49,8	-0,07205	-0,01769	-16,25	-0,46690
29			0,467	90 00 57,5	0,01772	0,01770	26,06	-0,05761

той графе приведены расстояния z от оси x до центра длинной (верхней) и короткой (нижней) полос визирной марки. В пятой — приведены значения зенитных расстояний на изображения соответственно верхней и нижней полос. При проведении измерений марка была удалена от начала координат (пункта наблюдения) на расстояние 764,96 м, давление в период наблюдений равнялось $1,00467 \cdot 10^5$ Па. Как видно из результа-

тов, приведенных в этой графе, длинная и короткая полосы иногда изображаются три-четыре раза. В шестой графе приведены значения одного из корней уравнения (10) — значения β .

В таблице есть только одно значение действительного корня. Понятно, что значение корней будет зависеть от количества членов ряда, так как в предположении экспоненциального распределения коэффициента турбулентности значение его находится в точках кривой.

Анализируя приведенные в таблице результаты определения β , нетрудно заметить, что, во-первых, величина β , соответствующая изображениям верхней полосы ($z=0,857$ м), примерно на порядок меньше значений соответствующих изображений короткой полосы ($z=0,467$ м). Во-вторых, с увеличением градиента температуры величины β уменьшаются.

Таким образом, показано, что коэффициент турбулентности является функцией световой кривой и чем более точно будет найдено ее уравнение, тем точнее будут определяться коэффициент турбулентности, а следовательно, и рефракция.

Список литературы: 1. Маслич Д. И., Хижак Л. С., Дидух И. И., Иосипчук Н. Д., Яскилка М. Б. Определение коэффициента турбулентности по результатам измерений метеозамеров и зенитных расстояний. — В кн.: Тез. докл. Второго совещания по атмосферной оптике. Томск, 1980. 2. Гандин Л. С., Лайхтман Д. Л., Матвеев Л. Т., Юдин М. И. Основы динамической метеорологии. — Л.: Гидрометеоздат, 1955. 3. Маслич Д. И., Хижак Л. С., Дидух И. И., Музыка М. А., Иосипчук Н. Д. Определение вертикальной рефракции над равнинной однородной поверхностью в инверсионный период. — В кн.: Тез. докл. Пятого Всесоюзного симпозиума по распространению лазерного излучения в атмосфере. Томск, 1979.

Статья поступила в редколлегию 16. 04. 81

УДК 528.2.02:551.24

А. Л. ОСТРОВСКИЙ, А. Д. ГНАТЕНКО

СТАТИСТИЧЕСКИЕ ИССЛЕДОВАНИЯ ПОГРЕШНОСТЕЙ НИВЕЛИРОВАНИЯ I КЛАССА НА КРЫМСКОМ ГЕОДИНАМИЧЕСКОМ ПОЛИГОНЕ

В настоящее время нивелирная сеть Крымского геодинимического полигона представляет собой замкнутый многоугольник с периметром около 220 км Симферополь—Алушта—Ялта—Аромат—Сирень—Симферополь и примыкающим к нему в районе ст. Сирень разомкнутым ходом длиной около 70 км Сирень—Севастополь—мыс Херсонес.

В 1974 г. нивелирование выполнялось по методике и допускам работы [2], а в 1977 г. дополнительно учитывались и рекомендации работы [8]. В табл. 1 приводится качественная характеристика нивелирования, вычисленная по формулам инструкции [3].